富勒烯对人胚肝细胞的氧化损伤

张静姝1,*,李大鸣2,李云蕊2,王春花1,何宁1,刘英华1,张静1

- 1. 天津市疾病预防控制中心毒理室,天津 300011
- 2 天津医科大学公共卫生学院,天津 300070

摘要: 为初步探讨富勒烯 (C_{ω})对人体细胞的潜在危害,以人胚肝细胞 (L-02)为研究对象,研究富勒烯暴露对人胚肝细胞的氧化损伤。人胚肝细胞暴露于 0 1 25 2 50 5 00 10 00 20 00和 40 00 μ g mL 富勒烯悬液 24 h后,检测细胞内 CAT活性和MDA与 ROS含量。采用免疫组化法检测 SOD蛋白在富勒烯暴露后细胞内的分布情况; W estem blotting法观察富勒烯对人胚肝细胞内 SOD GSH-P和 CAT蛋白表达的影响。结果表明,各实验组中细胞内 CAT活性均有不同程度的降低,与对照组相比,差异均具有统计学意义 (P<0 05); 10 00 20 00和 40 00 μ g mL 富勒烯暴露组细胞内 MDA含量以及 10 00 μ g mL 组细胞内 ROS的含量明显增加,差异均具有统计学意义 (P<0 05)。随着富勒烯含量的增加,细胞内 SOD蛋白表达减少且分布不均。同时,富勒烯降低细胞内 GSH-P和 CAT蛋白的表达。综合实验结果推测富勒烯引起人胚肝细胞发生氧化损伤可能是通过降低细胞内 SOD GSH-P和 CAT蛋白表达水平来实现的。

关键词: 富勒烯 ($\binom{C_0}{0}$); 人胚肝细胞 ($\stackrel{L}{-}02$); 氧化损伤

文章编号: 1673-5897(2011)6-149-05 中图分类号: R994.6 文献标识码: A

Oxidative Damages of Fullerenes on Human Embryo Liver Cells

Zhang Jingshul * Li Dam ing Li Yun rui Wang Chunhul He Ning Liu Yinghul Zhang Jing

- 1. Department of Toxicology, Tian jin Centers for Disease Control and Prevention, Tian jin 300011, China
- 2 School of Pub lie Health, Tianjin Med ical University, Tianjin 300070, China

Received 20 September 2010 accepted 20 November 2010

Abstract. This study is to determine the potential effects of full erenes on human body. Treated with 0, 1.25, 2 50, 5.00, 10.00, 20.00, 40.00 μ g m Γ^{-1} full erenes, the oxidative damages of human embryo liver cells were studied. After treated with full erenes 24 h, the activity of the CAT, and the concentration of MDA and ROS were measured. Cellular protein expression of SOD, GSH-Px, and CAT were observed by Western blotting and the protein distribution of SOD was detected by immunohistochemisty. The results indicate that CAT decreased in all groups (P<0.05) compared to the control group. Both MDA of 10.00, 20.00, 40.00 μ g m Γ^{-1} groups and ROS of 10.00 μ g m Γ^{-1} group increased (P<0.05). With increasing the concentration of full erenes, the expression of SOD, GSH-Px and CAT protein were inhibited. Considering the above results a conclusion can be drawn that full erenes inducing oxidative damages on human embryo liver cells may be through pwing down the expression of SOD, GSH-Px and CAT protein. Keywords fullerenes human embryo liver cells oxidative damages

1 引言(Introduction)

随着纳米技术的飞速发展, 纳米材料应用日趋

广泛。而纳米材料的大规模生产和应用对人体健康 与生态环境可能产生的安全风险也引起了人们的普

收稿日期: 2010-09-20 录用日期: 2010-11-20

基金项目: 天津市卫生局面上项目 ($\stackrel{\rm NO}{\circ}$ 05 KYZ45), 天津市自然科学基金面上项目 ($\stackrel{\rm NO}{\circ}$ N0506)

作者简介: 张静姝 (1975 -), 女, 博士, 副研究员; *通讯作者 (Cornesponding author), Email rainbow 7546@163. com

遍关注。 2003年 4月,《 Science》首先发表文章讨论 纳米材料与生物环境相互作用可能产生的生物效应 问题。随后越来越多的研究者开始研究这一亟待解决的热点问题。在众多的纳米材料中, 富勒烯作为一种具有多项优异性能的新型纳米材料显示出了极为广阔的应用前景。相应地, 人群暴露于富勒烯的危险性就会急剧上升。目前, 尽管人们已经开始研究其潜在的危害, 但迄今为止还只是起步阶段, 且研究结论尚未明了。笔者在前期研究[12] 的基础上, 进一步研究了富勒烯对人胚肝细胞所造成的氧化损伤。

2 材料与方法 (Materials and methods)

2.1 主要仪器与试剂

富勒烯(浓度为 99.9%,河南永新科技有限公 司), 1640培养液(美国 Gibco公司), 胎牛血清与 0.25%胰蛋白酶(天津 TBD灏洋生物技术有限公 司), L谷氨酰胺(美国 Sigma公司), 考马斯亮兰蛋 白测定试剂盒、过氧化氢酶(CAT)测定试剂盒与丙 二醛 (MDA)含量检测试剂盒 (南京建成生物工程研 究所), ROS試剂盒和预染蛋白质分子量标准(江苏 碧云天生物技术研究所),免疫组化试剂盒(南京凯 基生物科技发展有限公司), PRO-PREPM蛋白提取 溶液(北京赛百盛基因技术有限公司), goat SOD-1、 GPx1和 CAT多抗 (美国 Santa公司), goat anti-Ac 如 ISG HRP标记兔抗山羊 ISG(北京中杉金桥生物 技术有限公司). Pro_light HRP化学发光检测试剂 (北京天根生化科技有限公司), 膜封闭液和 PVDF 膜(江苏碧云天生物技术研究所)。实验中所用化 学试剂(如无特别说明)均为分析纯(及以上)试剂。

N70 荧光倒置显微镜 (日本 Olympus公司), TU-1201紫外分光光度计 (北京通用仪器设备公司), NVERTER MRX-151高速低温离心机 (离心半径 №8 年) 日本 TOMY公司), DYY-10 C型转移电泳仪 (北京六一仪器厂), FluotChem FQ 成像系统(美国 Alpha Innotech公司)。

22 富勒烯粉体悬浊液的制备

取富勒烯粉剂 0.05 §将其溶于 100 $^{\text{mI}}$ 的无菌生理盐水中,经过超声振荡溶解,制成浓度为 0.50 μ g $^{\text{mL}}$ 的悬浊液,高压灭菌后于超净台内分装, 4^{C} 冰箱保存,备用。

23 细胞培养

人胚肝细胞 L_{02} (购于中国科学院上海细胞生物学研究所)在含有 1.0%谷氨酰胺($2^{\text{mmod}}\Gamma^1$)、

1. 0%双抗 (100 ^U ^{mL⁻¹}青霉素、100 ^{µ g mL⁻¹}链霉素)、15% 胎牛血清的 RPM I-1640 培养 基中,于 37[℃], 5% ^{CO}及饱和湿度培养箱中常规培养,用 0 25%的胰蛋白酶消化后进行传代。

2.4 细胞内 CAT活性和 MDA含量检测

将人胚肝细胞悬液接种于 50 mL培养瓶中, $37^{\circ}C$ 、5% CQ条件下培养 24 h后,分为 0.1.25、2 50.5.00.10.00.20.00和 40.00 μ g mL⁻¹富勒烯暴露组,每个浓度作 6个平行样。 $37^{\circ}C$ 、5% CQ条件下培养 24 h后,收集细胞。依据 PRO-PREP^M蛋白提取试剂盒说明书提取蛋白;考马斯亮兰蛋白测定试剂盒说明书测定细胞内蛋白含量;CAT和 MDA测定试剂盒说明书测定细胞裂解上清液中的 CAT 和 MDA.

2.5 细胞内活性氧(ROS)含量测定

将人胚肝细胞接种于 96孔培养板中, 每孔 $2\times$ 10^4 个细胞, 37° C、5% CQ培养箱中培养 24 \h 换成 含终浓度分别为 0. 1. 25、2. 50. 5. 00. 10. 00. 20. 00 和 40. 00 μ g m Γ 富勒烯的培养液, 每组设 6个平行孔。对照组中加入无菌生理盐水, 继续培养 24 h后, 原位 装载 2, 7 三氢二氯荧光黄双乙酸钠 (DCHL-DA)探针。按照试剂盒说明书进行检测。根据以下公式计算活性氧水平:

活性氧水平 (%) = $\frac{\overline{8}$ 露组活性氧含量 \times 100% 对照组氧含量

2 6 免疫细胞化学法检测胞内 SOD原位表达情况将人胚肝细胞以每孔 1×10⁵个接种于 24孔板中,每个剂量设 4个平行样。24 h后更换含富勒烯终浓度分别为 0.5.00.10 00和 20.00 μ g m l h的培养液继续孵育 24 μ从孵箱中取出。弃去培养液,70%的乙醇固定,0.1 mol l l h PBS冲洗 3次,每次 5 m in 3% H Q室温孵育 10 m in 1% BSA室温封闭 45 m in 加一抗 (用 1% BSA稀释),湿盒内室温放置 1.5 μ PBS冲洗 3次,每次 5 m in DAB显色 10 m in PBS中流 3次,每次 5 m in DAB显色 10 m in PBS中流 3次,每次 5 m in DAB显色 10 m in DAB显色 10 m in DAB显色 10 m in DAB显色 10 m in DAB显

2.7 Western b ptting方法

将对数生长期细胞分为 0. 1. 00 和 20 00 μ 8 m Γ 富勒烯暴露组,每组设 3个平行样。经相应处理 24 h后,每个样品收集 1×10^7 个细胞于离心管内。蛋白提取及含量测定同前,调整蛋白含量为 5 μ 8 μ Γ 。经 10% 聚丙烯酰胺凝胶电泳分离蛋白,转膜,封闭液 37 Γ 征动封闭 1 h山羊抗人多克隆抗

体 SOD_1 、 GPx_1 和 CAT抗体 4° C孵育过夜。 HRP标记的二抗杂交, 37° C 1 h Pro_1 ight HRP化学发光检测,经过显影、定影,数字成像分析蛋白的光密度。 2 8 统计学处理

结果以 $X\pm$ 表示, 采用 SPSS 15. 0 for Windows 统计软件包对数据进行单因素方差分析, 若差别有统计学意义, 再进行两两比较的 D^{unnett} 检验。检验水准 $\alpha=0.05$ 。

3 结果(Results)

3.1 富勒烯对人胚肝细胞 CAT活性和 MDA ROS 含量的影响

由表 1可见: 富勒烯暴露 24 h后, 1. 25 2 50 5. 00. 10. 00. 20. 00和 40. 00 μ g mL⁻¹组细胞内 CAT 活性均不同程度降低,与对照组相比,差异均有统计学意义(\mathbb{P} <0. 01)。细胞内 MDA含量随暴露剂量的增加呈上升趋势,但 1. 25、2 50和 5. 00 μ g mL⁻¹剂量组细胞内 MDA含量与对照组相比差异无统计学意义(\mathbb{P} >0. 05);当浓度上升至 10. 00. 20. 00和 40. 00 μ g mL⁻¹时,MDA含量明显增加,与对照组相比差异具有统计学意义(\mathbb{P} 0. 05或 \mathbb{P} 0. 01)。

同时, 对照组细胞内 ROS含量为 101.420 ± 7.95 。富勒烯暴露 24 h后, 细胞内 ROS含量均有不同程度的升高。但只有 $10.00 \, \mu \, {\rm g \ mL}^1$ 剂量组细胞内 ROS含量与对照组相比差异具有统计学意义(${\rm PC}(0.05)$)。

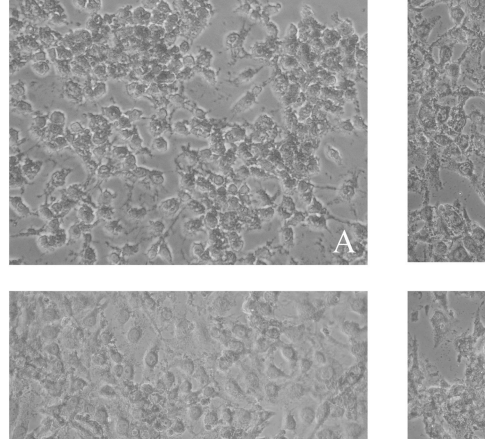


表 1 富勒烯对人胚肝细胞中 CAT活性、

MDA和 ROS含量的影响 (n = 6 X \pm s)

Table 1 Effects of fullerenes on CAT activity MDA and ROS contents in human embryo liver cells after treated with fullerenes for $24 \, h_1 = 6 \, \text{Mena} \pm \text{SE}$

利量 CAT活性 MDA含量

/(µ g mL⁻¹)/(units mg⁻¹)/(mod mg⁻¹) ROS含量 ///

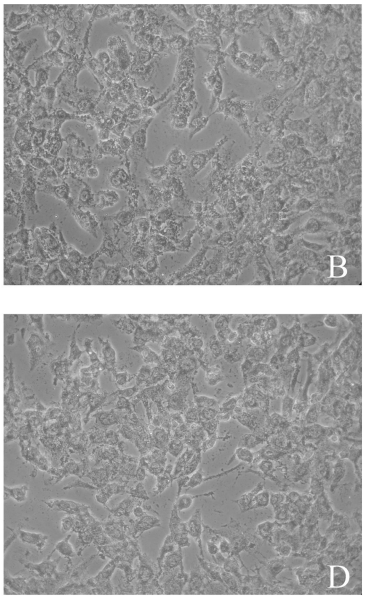
con trol 2 290±0 190 430±0 04401. 420±7. 95

1. 25 1. 043±0. 005 を653±0 1606 746±19. 75
2 50 0 937±0. 143 を753±0 0725. 893±33. 69
5 00 0 756±0. 008 を613±0 1528 941±16 63
10 00 0 912±0. 0230*808±0 3369*841±75. 79 *
20 00 0 996±0. 057. を46±0 1923を308 ±47. 21
40 00 0 638±0. 072 を84±0 2112を786±57. 49

注: 与対照组比较. * № 0 05 ** № 0 01。

3.2 富勒烯对人胚肝细胞内 SOD蛋白分布的影响

免疫组化方法检测 SOD在各实验组中的表达情况, SOD表达阳性的细胞质染成棕褐色。由图 1



A: control; B: 5.00 μg·mL⁻¹; C: 10.00 μg·mL⁻¹; D: 20.00 μg·mL⁻¹

图 1 富勒烯染毒后细胞内 SOD蛋白分布 (20×10)

Fig. 1 Protein distribution of SOD in human embryo liver cells under exposure to \mathfrak{t} llerenes (20×10)

可见,对照组中阳性细胞数较多,大多呈 SOD中度阳性反应,染色较深,棕黄色颗粒较为均匀地分布于胞浆及细胞核中;染毒组细胞中 SOD阳性产物分布不均匀,部分细胞呈阴性反应,其余呈弱阳性反应,极少数呈强阳性反应,胞浆内 SOD分布普遍减少。3.3 Western blotting方法分析富勒烯对 SOD GSH-

3.3 Western blotting方法分析富勒烯对 SOD GSH-Px和 CAT蛋白表达的影响

富勒烯暴露 24 h后对人胚肝细胞中 SOIQ GSH-P和 CAT蛋白表达水平的影响见图 2 和图 3。可见,富勒烯降低 SOIQ GSH-P和 CAT蛋白表达水平,并随着剂量的增加,富勒烯的抑制作用增强。 20. 00 μ 8 mL⁻¹富 勒烯作用 24 h后,对 SOIQ GSH-P。和 CAT蛋白表达的抑制率分别为: 40. 4%、23. 7% 和 42. 7%。

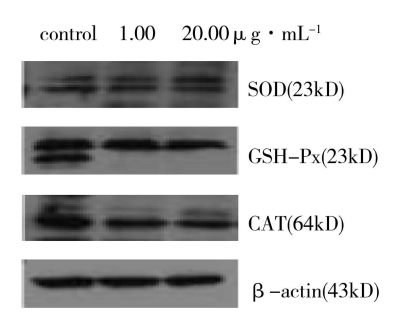


图 2 富勒烯对 SOD GSH-P×和 CAT蛋白表达的影响 Fig 2 Human embryo liver cells induced by fullerenes

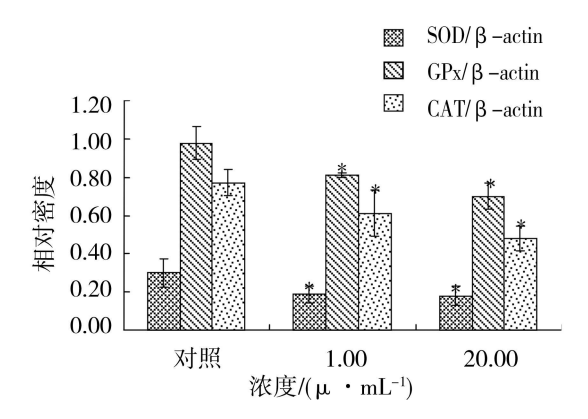


图 3 Western b lotting法分析蛋白的光密度扫描结果 (注: *:与对照组比较, P<0.05)

Fig. 3 Relative density of SOD, GSH-Px and CAT (*: compared with the control group P<0.05)

4 讨论(Discussion)

迄今为止, 人类对于纳米材料的认识才刚刚起步, 学术界更多的侧重于发展纳米材料的制备科学、工程研究及注重发现其新功能, 而关于纳米材料能否对机体产生潜在危害的研究较少。纳米材料由于粒

径小并且化学活性强,使得它更易于进入机体或体内各种生物膜,并可能与生物大分子发生结合或催化化学反应,改变其正常立体结构,从而造成对机体的损伤。研究表明,纳米材料硫硒化镉可引起小鼠肾脏和脑组织中 SOD活力降低及 MDA含量的下降^[3];纳米材料多壁碳纳米管引起小鼠肺脏和肝组织中 SOD活力和 GST含量下降^[4]。纳米材料能否对机体产生潜在性危害成为目前亟待解决的问题。

富勒烯是应用最广泛的纳米材料之一,人们对其的研究正日渐深入。 Kamat等 5 发现 Co和 Co (OH) 18的光敏感性可以引发脂质过氧化。 Oberdorstel⁶报道与 Co水溶悬胶体接触的大嘴鲈鱼出现大脑脂质过氧化损伤,同时,鳃中还原型谷胱甘肽含量降低,作者推测这一现象与 Co具有氧化活性有关,但其机理尚不清楚。 Sayes等 [78] 经过一系列研究表明,分别在体外培养的人皮肤成纤维细胞和肝癌细胞 HetCo中, Co水悬液通过诱导 ROS生成,导致细胞膜脂质过氧化,进而产生细胞损伤。

陈霖等^[9]研究表明,水溶性富勒烯衍生物(DMA Co)能产生活性氧,使细胞内钙离子浓度升高,造成 细胞膜损伤,加速细胞死亡。朱小山等[19]研究证实, 鲫鱼长期暴露于低剂量富勒烯(气)时,其肝脏中 SOD和 CAT活性降低,GSH含量和 ATP酶活性受 抑。 G。还具有高度亲电活性,诱导生成 ROS 如超氧 阴离子、单线态氧和过氧化物等)[1],与体内存在的 其他自由基共同加重了抗氧化防御系统的负担。生 物体既有自由基的生成体系 (氧化系统), 又有自由基 的消除系统 (抗氧化系统)。目前,已知哺乳动物体内 有两类消除自由基的系统,一类为酶促系统,另一类 为非酶促系统。细胞内抗氧化酶主要包括超氧化物 歧化酶(SOD)、过氧化氢酶(CAT)和谷胱甘肽过氧化 酶(GSH-Px)。在正常生理条件下,体内氧自由基的 产生和清除是平衡的。而富勒烯可诱导 ROS生成, 引起 ROS的增多与聚集。过多的 ROS与体内 DNA 蛋白质、脂类和碳水化合物等发生反应, 使氢自由基 代谢失衡,导致自由基损伤引起疾病的发生。

一般情况下,需氧生物体 ROS可被机体内源性的抗氧化防御体系所抑制或淬灭,从而不会对机体产生有害影响。但是笔者前期的结果表明^[1],人胚肝细胞在富勒烯的作用下产生细胞毒作用,且与细胞内的氧化损伤有关。这证实体内的抗氧化酶系统出现异常。本研究中证实超氧化物歧化酶(SOD)、过氧化氢酶(CAT)和谷胱甘肽过氧化酶(GSI-Ps)

蛋白表达下降。同时,免疫组化结果表明,富勒烯染毒后引起细胞内 SOD蛋白分布不均,免疫组化阳性表达较对照组减少。而肝脏是含过氧化体较多的组织,人胚肝细胞胞浆内 SOD含量较高。根据以上研究,提示富勒烯损伤了抗氧化防御系统。

MDA是脂质过氧化的中间产物,测定 MDA的量常可反映机体内脂质过氧化的程度,间接地反映出细胞的损伤程度。自由基的增多,抗氧化能力的下降,直接导致脂质过氧化增强,进而引发 MDA增多。亦证实富勒烯可分别使人胚肝细胞^[1] 及血管内皮细胞^[12] IDH的释放增加。据此推测人胚肝细胞经历了"富勒烯刺激一自由基增多一细胞抗氧化能力下降一生物膜的过氧化损伤一生物膜结构和功能的改变一富勒烯刺激进一步加重",最终细胞内ROS失衡,影响线粒体膜完整性和能量代谢等途径,最终导致细胞凋亡或死亡。

笔者前期的研究结果显示, 富勒烯作用人胚肝细胞 24 h后, 细胞内 SOD活性及 GSH含量降低、IDH解放量增加。且富勒烯可使胞内 CAT GSH和 SOD mRNA表达水平降低。本次研究结果表明, 富勒烯还可以使抗氧化酶系中的 CAT活性降低, 同时使 MDA含量增加。而胞内的 ROS含量亦有所增加。胞内的抗氧化酶系(CAT GSH—P和 SOD)蛋白表达水平下降。这些结果表明富勒烯是通过引起人胚肝细胞内的氧化损伤产生其肝毒性作用的。

通讯作者简介: 张静姝 (1975-), 女, 天津市疾病预防控制中心毒理室主任,副研究员,主要从事环境毒理和食品毒理学研究,在国内外期刊发表论文近 20篇。

参考文献:

- [1] 张静姝,柏杉山,乔珊珊,等.富勒烯对人胚肝细胞 L-02的损伤作用[1].环境与健康杂志,2008,25 (11):952-954
 - Zhang J Ş Bai S Ş Qiao S Ş etal Human em bryo liver L-02 cells damage induced by fullerene [j. Journal of Environment and Health 2008 25 (11): 952 954 (in Chinese)
- [2] 张静姝,邸金茹,张静,等. 富勒烯对人胚肝细胞内过氧化氢酶、谷胱甘肽过氧化物酶和超氧化物歧化酶 mRNA的表达的影响[1]. 环境与健康杂志,2010,27(7):584-586
 - Zhang JŞ Di JR, Zhang J et al. Effects of fulerence on mRNA expression of CAT, GSH-Px and SOD in L-02 cells [J]. Journal of Environment and Health, 2010, 27(7): 584-586 (in Chinese)

- [3] 项晓玲, 李岩, 田熙科, 等. 纳米硫硒化镉对小鼠肾脏和脑组织 SOD活力和 MDA含量的影响[J. 生态毒理学报, 2008, 3(2): 168-173
 - Xiang X I, Li Y, Tian X K, et al Effects of CdSeS nanocrystal on SOD activities and MDA contents in mouse kidney and brain tissue [J]. Asian Journal of Ecotoxicology 2008, 3(2): 168—173 (in Chinese)
- [4] 崔萌萌, 黄俊, 王江伟, 等. 多壁碳纳米管对小鼠肺脏和肝脏组织 SOD活力和 GSH含量的影响[J]. 生态毒理学报, 2008, 3(2): 162-167
 - Cui M M, Huang J W ang J W, et al. Effects of multiwalled carbon nanotubes on SOD activities and GSH contents in mouse lung and liver tissue [J. Asian Journal of Ecotoxicology, 2008, 3(2): 162–167 (in Chinese)
- [5] Kamat J P, Devasagayam T P, Priyadarsin i K J, et al.
 Oxidative damage induced by the fullerene C₆₀ on Photosensitization in rat livermicrosomes [J]. Chemico Biological Interactions, 1998, 114(3): 145—159
- [6] Oberdorster E Manu factured nanom aterials (fulleienes, C_{60}) induce oxidative stress in the brain of juvenile largemouth bass [1]. Environmental Health Perspectives, 2004, 112(10): 1058—1062
- [7] Sayes C M, Fortner J, Guo W, et al. The differential cytotoxicity of water soluble fullerenes [J]. Nano Let ters, 2004 4(10): 1881—1887
- [8] Sayes CM, Gobin AM, Ausman KD, et al. Nano C_{ω} cytotoxicity is due to lipid peroxidation [J]. Biomaterials, 2005, 26(36): 7587—7595
- [9] 陈霖,杨新林,彭鲲鹏,等.水溶性 C_{ω} 衍生物的光致细胞膜毒性的动态研究 [J].高技术通讯,2001,11(2):17-20
 - Chen I, Yang X I, Peng K P, et al Dynamic research of Photo-induced toxic iv against cell membrane by a water soluble C₆₀ derivative [J. Chinese High Technology Letters, 2001, 11(2): 17—20 (in Chinese)
- [10] 朱小山,朱琳,郎宇鹏,等. 人工纳米材料富勒烯 (C_{ω}) 低剂量长期暴露对鲫鱼的氧化伤害 [J]. 环境科学,2008, 29(4): 855-861
 - Zhu X Ş Zhu L, Lang Y P, et al. Oxidative damages of long term exposure to low level full erenes (C_{60}) in car assius auratus [J]. Environmental Science, 2008, 29 (4): 855-861 (in Chinese)
- [11] Bottero JY, Rose J Wiesner MR, Nanotechnologies tools for sustainability in a new wave of water treatment processes [J. Integrated Environmental Assessment and Management, 2006, 2(4): 391—395
- [12] Yamawaki H, Iwai N Cytotoxicity of water soluble fullete ne in vascular endothelial cells [J. American Journal of Physiopsy Cell Physiopsy, 2006, 290(6): C1495—C1502